

МАТРИЧНЫЙ МЕТОД ДЕФОРМАЦИЙ В РАСЧЕТАХ СТЕРЖНЕВЫХ МОДЕЛЕЙ СЛОЖНОЙ ГЕОМЕТРИЧЕСКОЙ СТРУКТУРЫ ПО ДЕФОРМИРОВАННОМУ СОСТОЯНИЮ

В. П. Уласевич, В. И. Каковко

1. Постановка задачи исследований. В современных условиях при проектировании различных конструкций зданий и сооружений наметилась тенденция на использование несущих каркасов и др. решетчатых систем, выполненных из легких стальных тонкостенных конструкций (ЛСТК) или из прямолинейных стальных тонкостенных холодногнутых профилей (СТХП), обладающих повышенной деформативностью. Их главная отличительная особенность – сложность точного учета деформаций стержней и узловых соединений под воздействиями, *трудность оценки общей устойчивости формы равновесия.*

Обычно расчет моделей стержневых систем сложной геометрической структуры чаще всего проводят классическим *методом перемещений* при следующих предпосылках и допущениях:

- рассматривается только приложение нагрузки к узлам при отсутствии поперечно изгиба отдельных стержней системы;
- стержни системы принято считать нерастяжимыми и несжимаемыми, так как классический метод перемещений продольные деформации не учитывает;
- считают, что расстояния между узлами при деформациях не меняются.

При оценке несущей способности стержневых моделей повышенной деформативности, недооценка в классическом методе перемещений *продольных деформаций* стержней может приводить к существенной ошибке.

Кроме того, поскольку стержневые системы из ЛСТК и их отдельные стержни обладают повышенной деформативностью, *оценка эффектов воздействий в их расчетных моделях* должна, как правило, выполняться в упругой стадии но по деформированной схеме равновесия, учитывающей геометрическую нелинейность, проявляющуюся в процессе деформирования под воздействиями. Важно также, чтобы при выключении части стержней рассчитываемой стержневой модели из работы путем потери ими устойчивости метод расчета и разработанная на его основе компьютерная программа могли уметь оценивать устойчивость оставшейся части расчетной модели и тем самым иметь возможность оценить ее *живучесть*. И если оставшаяся часть рассчитываемой системы устойчива и может воспринимать *возмущающие воздействия*, уметь продолжить расчет новой расчетной модели, которая в этом случае будет учитывать как *геометрическую*, так и *конструктивную нелинейность*.

Нами в основу статического расчета моделей воздействий стержневых систем повышенной деформативности положен метод деформаций [1], [2], обладающий достоинствами как классического метода перемещений, так и матричного метода конечных элементов (МКЭ) в форме метода перемещений. Но в отличие от метода перемещений, в котором жесткая связь, накладываемая на узел основной системы, запрещает его поворот, но допускает возможное горизон-

тальное перемещение, в методе деформаций накладываем на узлы системы связи, запрещающие не только поворот, но и горизонтальное их смещение. В результате получаем стержневую систему, стержни которой могут быть загружены сплошной поперечной нагрузкой $q(x)$, и которые в общем случае могут быть упруго соединены с неподвижными опорами. В таком случае каждый такой стержень с $EA > 0$ и $EI > 0$, примыкающий к неподвижным узлам системы, работает как растянуто-изогнутый, испытывающий в общем случае и продольные и угловые деформации. Важно, что в сравнении МКЭ, алгоритм которого построен на методе перемещений, в предложенном *методе деформаций* [1] нет необходимости делить стержень на конечные элементы (КЭ) для достижения требуемой точности, так как каждый стержень стержневой модели представляет собой *универсальный конечный элемент, напряженно-деформированное состояние которого может быть определено в произвольном его сечении с высокой аналитической точностью* [1].

Таким образом, разработка метода расчета стержневых систем, учитывающего деформационную *модель эффектов воздействий* с оценкой устойчивости формы равновесия, актуальна как в теоретическом, так и в практическом плане, так как именно такой подход к их расчету заложен в стандартах Еврокода 3, принятых в Республике Беларусь.

2. О расчете стержневых моделей методом деформаций. Основная отличительная особенность метода деформаций [1] от классического метода перемещений: возможность учета продольных деформаций стержней; учет деформированной геометрии стержней в принятой *основной системе*, находящейся под расчетными поперечными воздействиями; универсальность приложенной к стержням распределенной по их длинам поперечной нагрузки параметрического вида $g(x)$; матричная форма алгоритма расчета. *Основная система метода деформаций*, в отличие от метода перемещений, образуется путем наложения на узлы модели *жестких связей*, препятствующих как повороту, так и горизонтальному смещению концов ее стержней.

Для плоской стержневой системы порядка $k=m \cdot n$ (где m – число связей в узлах; n – число узлов) система уравнений метода деформаций имеет вид

$$[K] \cdot \{\Delta\} = \{P_u\} + \{P_s\} + \{R\}, \quad (1)$$

где $[K]$ – матрица внешней жесткости свободной системы; $\{\Delta\}$ – вектор искомых перемещений узловых точек; $\{P_u\}$ – вектор внешних нагрузок, действующих в узлах рамы в глобальной системе; $\{P_s\}$ – вектор реакций начала и конца стержня, от воздействия распределенных по его длине поперечных нагрузок, температурных воздействий, предварительного натяжения с учетом условий закрепления стержней в узлах, приложенных с обратным знаком; $\{R\}$ – вектор опорных реакций, на которые наложены опорные связи (если в узле нет связей, то соответствующие им величины равны нулю).

Очевидно, что точность метода перемещений определена методикой вычисления вектора опорных реакций $\{P_s\}$ на стадии определения напряженно-деформированного состояния стержней модели в *основной системе*. Оценка деформированного состояния каждого гибкого стержня рассчитываемой стержневой модели в основной системе метода деформаций (рисунок 1) построена на решении неоднородного дифференциального уравнения [1]

$$\frac{dv^4}{dx^4} - \frac{H}{EI} \frac{d^2v}{dx^2} = -\frac{q(x)}{EI}, \quad (2)$$

где H , v – распор и функция прогибов от воздействия нагрузки $q(x)$;

EI – изгибная жесткость стержня;

M^a , M^b – изгибающие моменты в опорных связях основной системы.

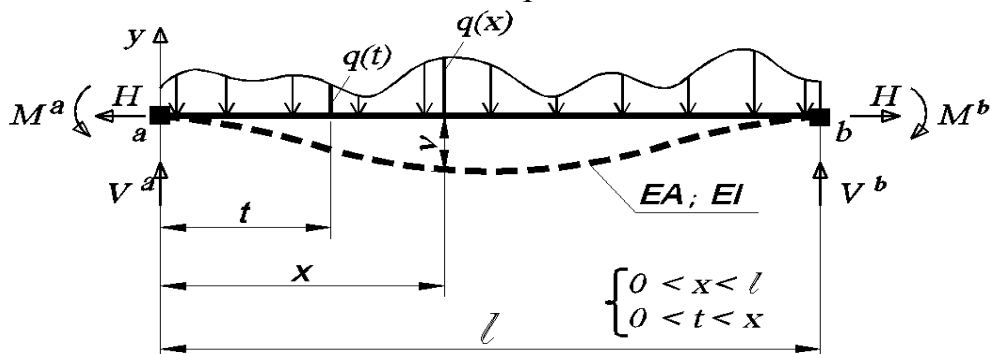


Рисунок 1 – Деформированное состояние прямолинейного стержня

Аналитическое решение уравнения (2) в интегральных квадратурах при краевых условиях

$$v|_{x=0} = 0; \quad v|_{x=l} = 0; \quad v''|_{x=0} = \frac{M^a}{EI}; \quad v''|_{x=l} = \frac{M^b}{EI}$$

получено в [1] относительно прогибов v и изгибающих моментов M_s , но содержащее в себе основные неизвестные – распор H и опорные моменты M^a , M^b .

$$v = -\frac{1}{H} \left[R_b x - \int_0^x (x-t)q(t)dt + M^a - (M^a - M^b) \frac{x}{l} - M_s \right], \quad (3)$$

$$M_s = \frac{r_s}{a_1} sh(a_1 x) - \frac{1}{a_1} \int_0^x sh(a_1(x-t))q(t)dt + \frac{M^a}{sh(a_1 l)} sh(a_1(l-x)) + \frac{M^b}{sh(a_1 l)} sh(a_1 x), \quad (4)$$

где: $a_1 = \sqrt{\frac{H}{EI}}$; $R_b = \frac{1}{l} \int_0^l (x-t)q(t)dt$; $r_s = \frac{1}{sh(a_1 l)} \int_0^l sh(a_1(l-t))q(t)dt$; $Q_s = \frac{dM_s}{dx}$.

Основное достоинство функции прогибов (3), изгибающих моментов (4), а также их производных состоит в том, что они непрерывны и дифференцируемы. Это позволило в [1] на основании равенства полных линейных и угловых деформаций разработать систему трех разрешающих уравнений в замкнутом виде относительно входящих в них неизвестных – распора H и опорных моментов M^a , M^b в виде

$$\begin{cases} \frac{H \cdot l}{EA} + \left(\frac{H}{EA} - \frac{1}{2} \right) \frac{D(H)}{H^2} + \left[H \cdot (c_h^a - c_h^b) + \left(\alpha \cdot l \cdot \Delta t - \frac{P_n \cdot l}{EA} \right) \right] = 0; \\ \left\{ \left(\frac{th(al) - al}{H \cdot l \cdot th(al)} - c_\varphi^a \right) \cdot M^a - \frac{sh(al) - al}{H \cdot l \cdot sh(al)} \cdot M^b = -\frac{dv}{dx} \Big|_{x=0; M^a=0; M^b=0}; \right. \\ \left. \left\{ \frac{sh(al) - al}{H \cdot l \cdot sh(al)} \cdot M^a - \left(\frac{th(al) - al}{H \cdot l \cdot th(al)} - c_\varphi^b \right) \cdot M^b = -\frac{dv}{dx} \Big|_{x=l; M^a=0; M^b=0} \right. \right. \end{cases} \quad (5)$$

где
$$D(q, H) = \int_0^l \left(R_b - \int_0^x q(t) dt - \frac{1}{l} (M^a - M^b) - \frac{dM_s}{dx} \right)^2 dx ; \quad (6)$$

$c_u^a, c_u^b, c_\varphi^a, c_\varphi^b$ – коэффициенты линейной и угловой податливости левой и правой опор стержня соответственно; l – длина стержня; α – коэффициент линейного расширения стали; Δt – расчетный перепад температуры.

При известных значениях M^a и M^b вертикальные реакции V^a и V^b равны

$$V^a = R_b - \frac{1}{l} (M^a - M^b); \quad V^b = \int_0^l q(t) dt - V^a. \quad (7)$$

После расчета всех стержней в основной системе рамы по уравнениям (5) есть возможность с учетом (7) сформировать вектор $\{P_s'\}$ в локальной системе координат. Тогда векторы $\{P_s\}$ в глобальной системе координат

$$\{P_s\} = [T_\alpha]^T \cdot \{P_s'\}, \quad (8)$$

а связь реакций узлов всей системы $\{r\}$ (2) с реакциями и перемещениями концов ее элементов $\{\delta'\}$ может быть определена по формуле

$$\{r\} = [T_\alpha]^T \cdot \{r'\} = [T_\alpha]^T \cdot \{ [K'] \cdot \{\delta'\} \} = [T_\alpha]^T \cdot [K'] \cdot [T_\alpha] \cdot \{\delta\}, \quad (9)$$

Вектор перемещений в глобальной системе координат вычисляем так:

$$\{\Delta\} = [K^*]^{-1} \cdot \left(\{P_u^*\} + \{P_s^*\} \right). \quad (10)$$

Действительные реакции $\{r'\}$ по концам каждого стержня рамы в местной системе координат рамы в свободной от связей системе рамы равны

$$\{r'\} = [K'] \cdot [T_\alpha] \cdot \{\Delta\} - \{P_s'\}. \quad (11)$$

Тогда перемещения и внутренние усилия в произвольных сечениях всех стержней рассчитываемой стержневой модели вычисляем по (3) (4), (5).

Впервые разработанный в [1] и кратко изложенный здесь матричный метод деформаций и построенный на его основе алгоритм компьютерной программы CsdCAD [2] позволяют, в сравнении с классическим методом перемещений, рассчитывать, даже в линейной постановке, стержневые системы сложной геометрической структуры более точно, так как он не только учитывает влияние продольных деформаций стержней, но и с аналитической точностью – влияние поперечных деформаций стержней на величины перемещений и связанных с ними изгибающих моментов и поперечных сил.

3. Алгоритм оценки устойчивости стержневых моделей. Изложенная Е.М. Сидоровичем в [3] методика оценки устойчивости стержневых моделей *качественным методом*, построенная на методе перемещений, доработана в [4] применительно к методу деформаций [1]. Это позволило ставить задачу о развитии метода деформаций до возможности расчета стержневых моделей на устойчивость и оценки их напряженно-деформированного состояния по деформированной схеме с учетом геометрической и конструктивной нелинейности. Рассмотрим сказанное подробно.

Полученная при расчете стержневой системы матрица закрепленной системы $[K^*]$, входящая в (8), является матрицей мгновенной жесткости $[K(H)]$ вследствие того, что дополнительные узловые нагрузки при расчете на устойчивость полагаются нулевыми, получается однородной, вида

$$[K(H)] \cdot \{\Delta\} = 0, \quad (12)$$

где $[K(H)]$ – матрица мгновенной жесткости, элементы которой – реакции r_{ik} во введенных связях на узлы основной системы, зависящие от продольных сил H в ее стержнях.

Особенность расчета на устойчивость – в необходимости учета дополнительного изгибающего действия продольных сил H , за счет которого эпюры изгибающих моментов от единичных перемещений получаются криволинейными. Реакции во введенных связях содержат поправочные множители в виде специальных функций от безразмерных параметров ν . Для сжатых стержней с $H \leq 0$ и

$$\nu = l \sqrt{\frac{|H|}{EI}} \quad (13)$$

специальные поправочные коэффициенты к элементам матриц внутренней жесткости сжатых стержней от безразмерных параметров ν приведены в [3], стр. 229. Для растянутых стержней – см. [3], стр. 235.

В излагаемом здесь методе деформаций при расчете на устойчивость специальные функции к элементам матриц внутренней жесткости, приведенные в [3], пересчитаны на зависимость их от параметра a_1

$$a_1 = \sqrt{\frac{|H|}{EI}}. \quad (14)$$

Тогда специальные функции как поправочные коэффициенты к элементам матрицы внутренней жесткости, зависящие от параметра a_1 (1.21), имеют вид

$$\varphi_1 = \frac{(a_1 l)^2 \operatorname{tg}(a_1 l)}{3(\operatorname{tg}(a_1 l) - a_1 l)}; \quad \varphi_2 = \frac{a_1 l (\operatorname{tg}(a_1 l) - a_1 l)}{8 \operatorname{tg}(a_1 l) \left(\operatorname{tg}\left(\frac{a_1 l}{2}\right) - \frac{a_1 l}{2} \right)}; \quad \varphi_3 = \frac{a_1 l (a_1 l - \sin(a_1 l))}{4 \sin(a_1 l) \left(\operatorname{tg}\left(\frac{a_1 l}{2}\right) - \frac{a_1 l}{2} \right)};$$

$$\varphi_4 = \frac{\left(\frac{a_1 l}{2}\right)^2 \operatorname{tg}\left(\frac{a_1 l}{2}\right)}{3 \left(\operatorname{tg}\left(\frac{a_1 l}{2}\right) - \frac{a_1 l}{2} \right)}; \quad \eta_1 = \frac{(a_1 l)^3}{3(\operatorname{tg}(a_1 l) - a_1 l)}; \quad \eta_2 = \frac{\left(\frac{a_1 l}{2}\right)^3}{3 \left(\operatorname{tg}\left(\frac{a_1 l}{2}\right) - \frac{a_1 l}{2} \right)}. \quad (15)$$

Тогда для прямолинейного стержня с заземленными концами (рисунок 1) матрица внутренней жесткости с учетом безразмерных функций (15) продольно-поперечного изгиба имеет вид

$$[K'_9] = \begin{bmatrix} \frac{EA}{l} & 0 & 0 & -\frac{EA}{l} & 0 & 0 \\ 0 & \frac{12EJ}{l^3}\eta_2 & -\frac{6EJ}{l^2}\varphi_4 & 0 & -\frac{12EJ}{l^3}\eta_2 & -\frac{6EJ}{l^2}\varphi_4 \\ 0 & -\frac{6EJ}{l^2}\varphi_4 & \frac{4EJ}{l}\varphi_2 & 0 & \frac{6EJ}{l^2}\varphi_4 & \frac{2EJ}{l}\varphi_3 \\ -\frac{EA}{l} & 0 & 0 & \frac{EA}{l} & 0 & 0 \\ 0 & -\frac{12EJ}{l^3}\eta_2 & \frac{6EJ}{l^2}\varphi_4 & 0 & \frac{12EJ}{l^3}\eta_2 & \frac{6EJ}{l^2}\varphi_4 \\ 0 & -\frac{6EJ}{l^2}\varphi_4 & \frac{2EJ}{l}\varphi_3 & 0 & \frac{6EJ}{l^2}\varphi_4 & \frac{4EJ}{l}\varphi_2 \end{bmatrix}. \quad (16)$$

Другие варианты крепления стержней к узлам матрицы внутренней жесткости с безразмерными коэффициентами (15), зависящими от параметра a_1l , могут быть получены из (16) путем исключения по методу Гаусса-Жордана. Такое решение приведено Е. М. Сидоровичем в [3].

Для растянуто-изогнутых стержней в формулах (1.22) необходимо произвести следующие замены: $(a_1l)^2 \rightarrow -(a_1l)^2$; $\sin(a_1l) \rightarrow \sinh(a_1l)$; $\text{tg}(a_1l) \rightarrow \text{th}(a_1l)$.

Очевидно, что коэффициенты матриц мгновенной жесткости рассчитываемой модели при расчете на устойчивость зависят от безразмерных функций (15), связанных с параметром (a_1l) .

Критическому состоянию деформированного равновесия стержневой системы отвечают ненулевые перемещения $\{\Delta\}$ (12) ее узлов

$$\{\Delta\} \neq 0,$$

что возможно, если матрица мгновенной жесткости системы **вырождена** и ее определитель, как ее количественная характеристика, равен нулю

$$\text{Det}[K(a_1l)] = 0. \quad (20)$$

Выражение (20) и есть нелинейное (трансцендентное) уравнение критического равновесия относительно параметра (a_1l) как основного неизвестного. При оценке устойчивости представляет интерес наименьший из корней матричного уравнения (20).

Для заключения об устойчивости рассчитываемой стержневой модели решение уравнения устойчивости (20) с целью поиска наименьшего параметра (a_1l) как основного неизвестного задача математически сложная и трудоемкая, однако она успешно решается **качественным методом исследования** [3], построенном на методе деформаций [1] по следующей схеме:

а. Выполняется статический расчет стержневой модели при заданном уровне нагрузки и других воздействиях по методу деформаций/

б. По известным формулам Эйлера проверяется устойчивость всех стержней расчетной модели с учетом закреплений их в узлах основной системы метода деформаций (ОСМД). Проверка всех стержней на устойчивость выполняется методом сравнения критических сил в стержнях с продольными силами в стержнях, вычисленных по методу деформаций [1].

с. Если устойчивость всех стержней ОСМД обеспечена, то анализируется полученная в результате расчета матрица мгновенной жесткости стержневой системы *в деформированном состоянии* с учетом вычисленных внутренних сил. Все главные диагональные элементы матрицы мгновенной жесткости в деформированном состоянии должны быть положительны. Если в процессе анализа будет выявлено наличие отрицательных или нулевых элементов, делается вывод о неустойчивости деформированной системы в исследуемом состоянии равновесия, и дальнейший расчет должен быть прекращен.

е. Если все главные диагональные элементы матрицы мгновенной жесткости в деформированном состоянии положительны, то выполняется разложение матрицы мгновенной жесткости на множители одним из известных методов. В MathCAD эффективно получить разложения матрицы на множители по методу Гаусса или QR-разложением или методом Холецкого встроенными средствами программы.

д. Окончательное заключение об устойчивости стержневой системы должно быть сделано путем исследования элементов, расположенных на главной диагонали матрицы мгновенной жесткости, полученных в результате разложения ее на множители. Если все диагональные элементы положительны и среди них нет близких к нулю, то равновесие стержневой системы при заданном для нее воздействии *устойчиво*; если разложение матрицы мгновенной жесткости прервано, то равновесия является критическим. Если среди диагональных элементов есть хотя бы один отрицательный, то равновесие стержневой системы при данном уровне внешних воздействии *неустойчиво*.

Оценку устойчивости стержневых моделей изложенным **качественным методом** [3], предложено выполнять в компьютерной программе DresCAD, разработанной нами средствами программирования PTC MathCAD по алгоритму, построенному на расчете по методу деформаций [1]. Блок-схема работы программы DresCAD представлена на рисунке 2.

4. О Расчете моделей по деформированному состоянию. Предложенный в [3] д.т.н., проф. Е. М. Сидоровичем и развитый в [4] **качественный метод** оценки устойчивости стержневых систем позволяет однозначно дать ответ на вопрос «Устойчива или неустойчива принятая для нее расчетная модель при заданном характере и величине воздействия?». И если расчетная модель стержневой системы в этом состоянии равновесия устойчива, то ее матрица мгновенной жесткости положительно определена. А это значит, что система может перейти из устойчивого **исходного состояния** в новое **возмущенное** (рассчитываемое) **деформированное** состояние приложением к ее стержням **дополнительных воздействий**. Тогда матричная система уравнений метода деформаций (1), учитывающая продольные деформации рассчитываемой стержневой системы и перемещения ее узлов $\{\Delta\}$ (10), имеет вид

$$[K(a_{1l}, \{\Delta\})] \cdot \{\Delta\} = \{P_u\} + [T_\alpha]^T \cdot \{P'_s\} + \{R\} . \quad (21)$$

Сформированная положительно определенная матрица мгновенной жесткости $[K(a_{1l}, \{\Delta\})]$ системы уравнений (21) открывает возможность выполнить **деформационный** расчет **возмущенного состояния** стержневой системы путем организации процедуры последовательных приближений, реализуемой программными средствами MathCAD. Для этого:

– выполняется расчет возмущенного равновесного состояния стержневой системы *методом деформаций* [1] как первое приближение. Анализ полученных результатов дает возможность получить вектор перемещений узлов $\{\Delta\}$ с учетом продольных деформаций и поперечных деформаций, а также внутренние усилия в стержнях. Вектор перемещений узлов $\{\Delta_i\}$ дает возможность откорректировать матрицу мгновенной жесткости $[K(a_{il}, \{\Delta_i\})]$;

– выполняя последующие расчеты матричной системы (21) с анализом результатов расчета и корректировкой матрицы мгновенной жесткости $[K(a_{il}, \{\Delta_i\})]$, необходимой для последующего $(i+1)$ статического расчета методом деформаций, получаем быстро сходящийся итерационный процесс до достижения заданной точности.

Полученное решение стержневой системы необходимо проверить на устойчивость *качественным методом* (см. п. 3 настоящей статьи).

5. Примеры расчета по программе DresCAD. Расчетная модель, представленная на рисунке 2 [5] (таблица 1), демонстрирует точность расчета. Результаты расчета, представленные на рисунках 3 (таблица 2) и 4 (таблица 3), демонстрируют возможности программы.

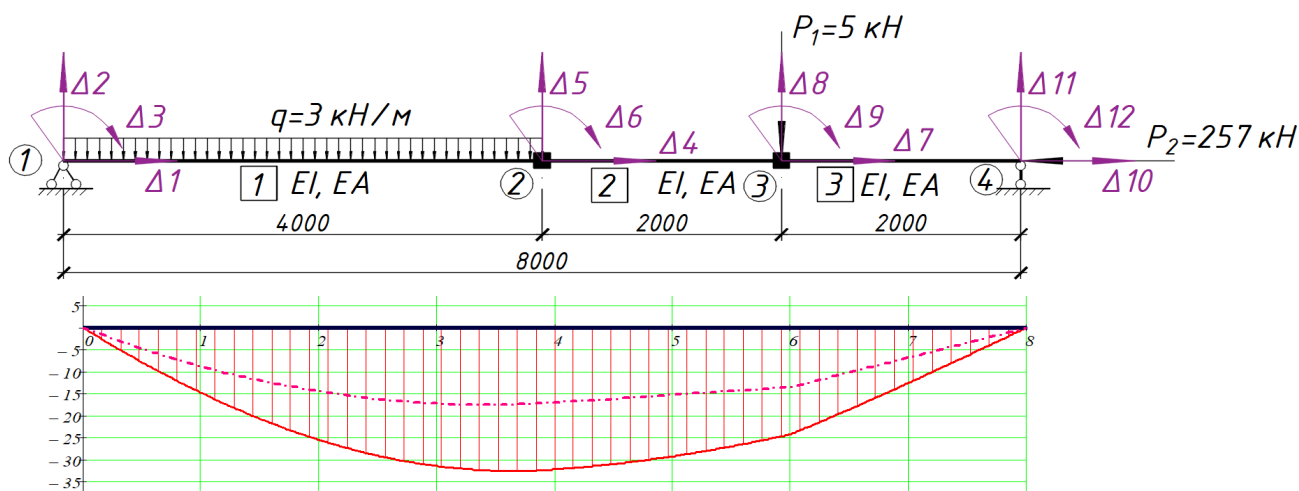
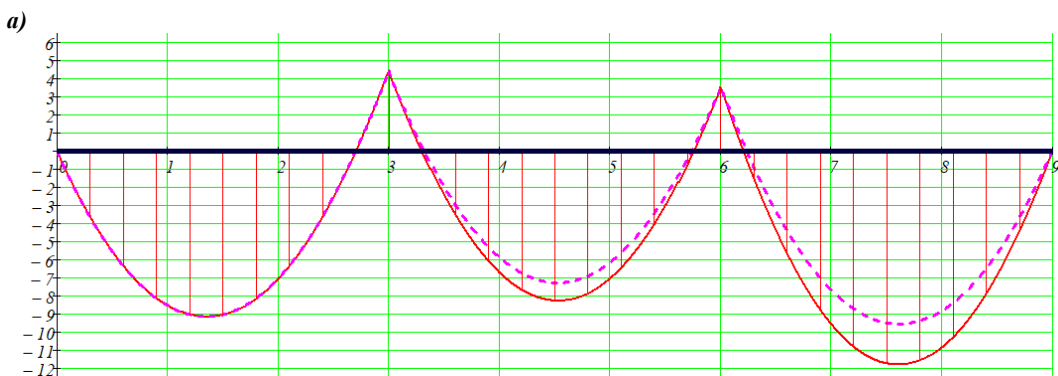
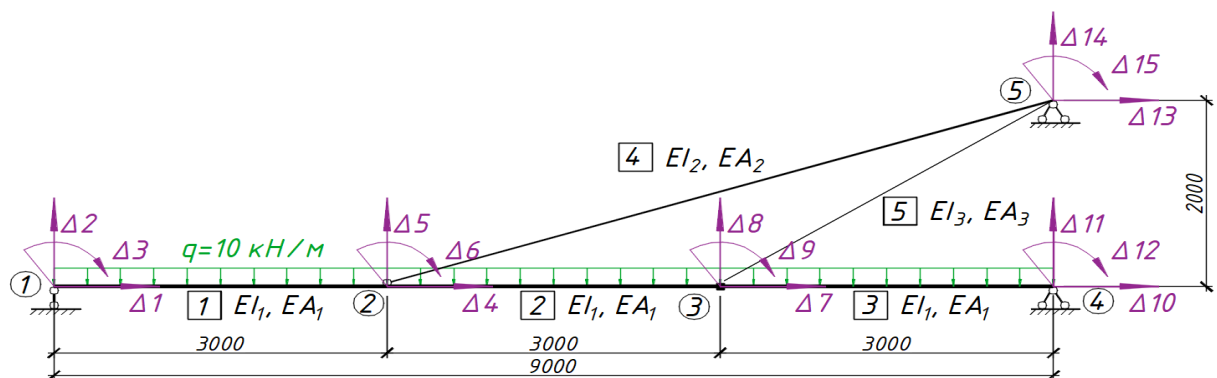


Рисунок 2 – Эпюра изгибающих моментов в сжато-изогнутом стержне [5] ($EI = 3638.04 \text{ кНм}^2$, $EA = 921900 \text{ кН}$) (штрихпунктирная линия – линейный расчёт)

Таблица 1 – Оценка точности расчета сжато-изогнутого стержня [5] и по КП DRESCAD

Анализ расчётов	M_{2z} , кНм	M_{3z} , кНм	M_{6z} , кНм	Δ_{7z} , см	Δ_{7z} , см
Деформационный расчёт (КП DresCAD)	25.459	32.171	24.192	5.903	4.16
Точное решение (б)	25.506	32.253	24.240	5.935	4.179
Линейный расчёт (КП DresCAD)	14.500	17.000	13.500	3.207	2.254
Различие деформационного расчета с точным расчётом (б), %	0.186%	0.254%	0.2%	0.537%	0.451%
Различие деформационного расчета с линейным расчетом (КП DresCAD), %	43.045%	47.157%	44.195%	45.673%	45.819%

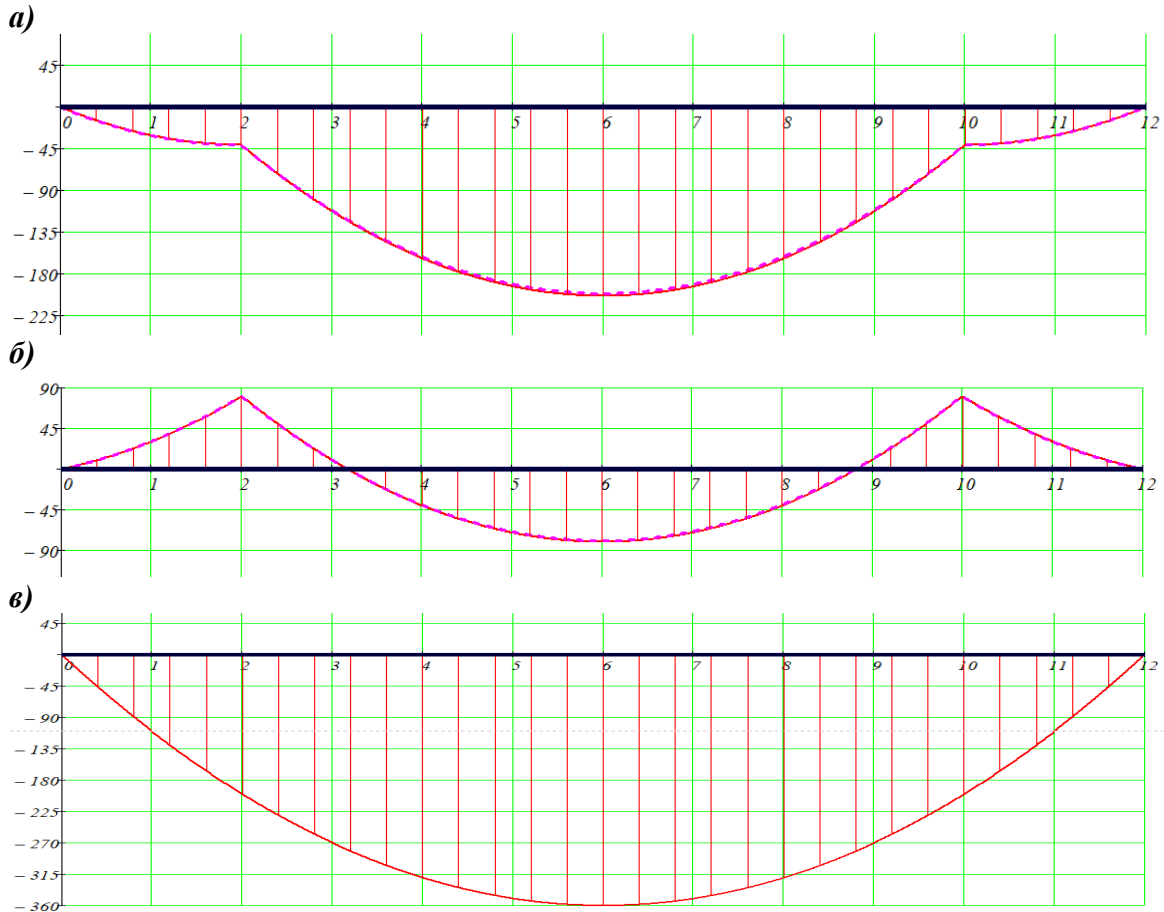
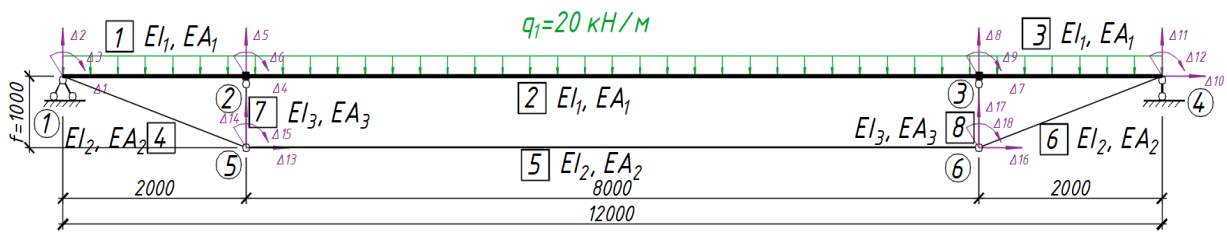


$EI_1=674.61 \text{ кНм}^2$, $EA_1=453.2 \text{ МН}$; $EI_2=0.522 \text{ кНм}^2$, $EA_2=37.11 \text{ МН}$; $EI_3=0.087 \text{ кНм}^2$, $EA_3=6.185 \text{ МН}$. Эпюры изгибающих моментов в балке: а) без преднапряжения; б) с предварительным напряжением в стержнях 4 ($P_n = 90 \text{ кН}$) и 5 ($P_n = 55 \text{ кН}$)

Рисунок 3 – Расчетная схема комбинированной балочно-вантовой системы

Таблица 2. Анализ результатов расчета вантово-балочной системы (рисунок 2)

Анализ расчётов	Момент в пролёте 1, кНм	M_{T_2} , кНм	Момент в пролёте 2, кНм	M_{T_3} , кНм	Момент в пролёте 3, кНм
Без преднапряжения					
Деформационный расчёт в ПК DresCAD	9.145	-4.428	8.27	-3.531	11.797
Линейный расчёт в ПК DresCAD	9.139	-4.428	7.27	-3.531	9.546
Различие деформационного с линейным расчетом, %	0.065%	0.00%	13.74%	0.00%	23.59%
С преднапряжением					
Деформационный расчёт в ПК DresCAD	7.881	-7.334	3.326	-8.987	8.695
Линейный расчёт в ПК DresCAD	7.876	7.334	3.103	-8.987	7.197
Различие деформационного с линейным расчетом, %	0.06%	0.00%	7.17%	0.00%	20.81%



$EI_1 = 81837.62 \text{ кНм}^2$, $EA_1 = 2060 \text{ МН}$; $EI_2 = 4.6 \text{ кНм}^2$, $EA_2 = 152.053 \text{ МН}$; $EI_3 = 95.1 \text{ кНм}^2$, $EA_3 = 252.371 \text{ МН}$;
 а) без преднапряжения; б) с предварительным напряжением $P_n = 303 \text{ кН}$; в) при потере стойками устойчивости от предварительного напряжении $P_n = 2000 \text{ кН}$ и $f = 1.5 \text{ м}$
 Рисунок 4 – Расчетная схема шпренгельной системы и эпюры изгибающих моментов:

— Нелинейный расчёт
 - - - - - Линейный расчёт

Таблица 3 – Анализ результатов расчета шпренгельной системы по DresCAD

Анализ расчётов	M_{T2} , кНм	Момент в пролёте, кНм	M_{T3} , кНм
Без преднапряжения			
Деформационный расчёт в ПК DresCAD	41.202	203.948	41.202
Линейный расчёт в ПК DresCAD	41.202	201.194	41.202
Различие деформационного расчета с линейным расчетом, %	0.00%	1.37%	0.00%
С преднапряжением $P_n = 303 \text{ кН}$			
Деформационный расчёт в ПК DresCAD	-80.702	80.774	-80.702
Линейный расчёт в ПК DresCAD	-80.702	79.295	-80.702
Различие деформационного расчета с линейным расчетом, %	0.00%	1.87%	0.00%
При потере стойками устойчивости от <u>преднапряжения</u> $P_n = 2000 \text{ кН}$ и $f = 1.5 \text{ м}$			
Деформационный расчёт в ПК DresCAD	200.000	360.002	200.000

ЗАКЛЮЧЕНИЕ. В статье изложен алгоритм расчета стержневых моделей на устойчивость по деформированному состоянию с учетом геометрической и конструктивной нелинейности и возможности разработанной на его основе компьютерной программы DresCAD. Высокую точность деформационного расчета, полученного по программе DresCAD, демонстрируют результаты расчета модели сжато-изогнутого стержня [5] (см. рисунок 2 и таблицу 1). Результаты расчета контрольных примеров (рисунки 2; 3 и 4) и выполненный их сравнительный анализ (таблицы 1; 2; 3) подтверждают высокую точность алгоритма и универсальные вычислительные возможности компьютерной программы DresCAD. Показано, что расчет шпренгельной модели (рисунок 4) при потере устойчивости ее сжатыми стержнями 7 и 8 от предварительного натяжения шпренгеля силой $P_n=2000$ кН продолжается, демонстрируя этим превращение шпренгельной модели в простую однопролетную балку и ее расчет. В этом случае программа DresCAD демонстрирует возможность расчета стержневой модели с учетом проявленной конструктивной нелинейности.

Список использованных источников

1. Уласевич, В.П. Статический расчет гибких стержневых систем сложной геометрической структуры методом деформаций / В.П. Уласевич // Вестник БрГТУ. – 2018. – № 1(109): Строительство и архитектура. – С. 73–77.

2. Уласевич, В.П. Расчет стержневых систем уточненным методом перемещений и его реализация в среде PTC MathCAD / В.П. Уласевич, В.И. Каковко // Перспективные направления инновационного развития строительства и подготовки инженерных кадров: Сборник научных статей XXI Международного научно-методического семинара, 25-26 октября 2018 г. – Брест: Изд-во БрГТУ, 2018. – Часть 1. – С. 257–265.

3. Сидорович, Е.М. Динамика и устойчивость сооружений. Численные методы решения задач: учебное пособие / Е.М. Сидорович. – Минск: БНТУ, 2006. – 246 с.

4. Уласевич, В.П. Устойчивость и деформационный расчет стержневых систем матричным методом деформаций / В.П. Уласевич // Вестник БрГТУ. – 2019. – № 1 (114) : Строительство и архитектура. – С. 68–72.

5. Безухов, Н.И. Устойчивость и динамика сооружений в примерах и задачах / Н. И. Безухов, О.В. Лужин, Н.В. Колкунов. – М.: Стройиздат, 1969. – 424 с.